

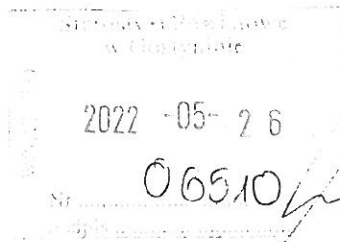
Prowadzący instalację:

F S . z o. o.
ul. W 1
02-677 W

Warszawa, 2022-05-26

Adres do korespondencji:

F Sp. z o. o.
ul. W 1,
02-677 W.



F. Balcanek
27.05.22
[Signature]

Starostwo Powiatowe w Gostyninie
Wydział Ochrony Środowiska i Leśnictwa

Przedłożenie informacji o zmianie danych w instalacji

o których mowa w przedłożeniu informacji dla GST4401A z dnia 2019-02-19

dotyczy: informacji o zmianie w zakresie danych w przedłożeniu informacji dla GST4401A.

Podstawa prawna: ustawa z dnia 27 kwietnia 2001 r. Prawo ochrony środowiska, art. 152, ust 6, pkt 1, lit. c)

Niniejsza informacja zawiera wyłącznie dane, które uległy zmianie.

1) Oznaczenie prowadzącego instalację, jego adres zamieszkania lub siedziby.

Brak zmian.

2) Adres zakładu, na którego terenie prowadzona jest eksploatacja instalacji.

09-550 Szczawin Kościelny, Spółdzielcza 8, gm. Szczawin Kościelny, pow. gostyniński

3) Rodzaj i zakres prowadzonej działalności, w tym wielkość produkcji lub wielkość świadczonych usług.

Usługi telekomunikacyjne, transmisja danych: 1TB/doba.

4) Czas funkcjonowania instalacji (dni tygodnia i godziny).

Brak zmian.

5) Wielkość i rodzaj emisji.

Dane przed zmianą:

| L.p. | Nazwa anteny / wysokość [m n.p.t.] | Rodzaj emisji | Równoważna moc promieniowana izotropowo | Azymut | Kąt pochylenia | Częstotliwość |
|------|------------------------------------|---------------|---|--------|----------------|---------------|
| 1 | 11_U/38,85 | PEM | 6308 W | 60° | 6° | 2100 MHz |



| | | | | | | |
|----|-------------|-----|---------|------|------|----------|
| 2 | 12_GT/38,55 | PEM | 2026 W | 60° | 9,5° | 900 MHz |
| 3 | 13_V/38,55 | PEM | 3806 W | 60° | 10° | 800 MHz |
| 4 | 14_DL/38,85 | PEM | 6952 W | 60° | 6° | 1800 MHz |
| 5 | 21_U/38,85 | PEM | 6308 W | 180° | 6° | 2100 MHz |
| 6 | 22_GT/38,55 | PEM | 2026 W | 180° | 9,5° | 900 MHz |
| 7 | 23_V/38,55 | PEM | 3806 W | 180° | 10° | 800 MHz |
| 8 | 24_DL/38,85 | PEM | 6952 W | 180° | 6° | 1800 MHz |
| 9 | 31_U/38,85 | PEM | 6308 W | 310° | 6° | 2100 MHz |
| 10 | 32_GT/38,55 | PEM | 2026 W | 310° | 9,5° | 900 MHz |
| 11 | 33_V/38,55 | PEM | 3806 W | 310° | 10° | 800 MHz |
| 12 | 34_DL/38,85 | PEM | 6952 W | 310° | 6° | 1800 MHz |
| 13 | RL1/41,8 | PEM | 4677 W | 104° | | 18 GHz |
| 14 | RL2/41,8 | PEM | 18621 W | 176° | | 18 GHz |
| 15 | RL3/41,85 | PEM | 4677 W | 301° | | 18 GHz |

Dane po zmianie:

| L.p. | Nazwa anteny / wysokość [m n.p.t.] | Rodzaj emisji | Równoważna moc promieniowana izotropowo | Azymut | Kąt pochylenia | Częstotliwość |
|------|---------------------------------------|------------------|---|--------|-------------------|----------------|
| 1 | 11_N/38,85 | PEM | 9505 W | 60° | 6° | 2100 MHz |
| 2 | 12_GT/38,55 | PEM | 2026 W | 60° | 9,5° | 900 MHz |
| 3 | 13_V/38,55 | PEM | 3806 W | 60° | 10° | 800 MHz |
| 4 | 14_L/38,85 | PEM | 6952 W | 60° | 6° | 1800 MHz |
| 5 | 21_N/38,85 | PEM | 9505 W | 180° | 6° | 2100 MHz |
| 6 | 22_GT/38,55 | PEM | 2026 W | 180° | 9,5° | 900 MHz |
| 7 | 23_V/38,55 | PEM | 3806 W | 180° | 10° | 800 MHz |
| 8 | 24_L/38,85 | PEM | 6952 W | 180° | 6° | 1800 MHz |
| 9 | 31_N/38,85 | PEM | 9505 W | 310° | 6° | 2100 MHz |
| 10 | 32_GT/38,55 | PEM | 2026 W | 310° | 9,5° | 900 MHz |
| 11 | 33_V/38,55 | PEM | 3806 W | 310° | 10° | 800 MHz |
| 12 | 34_L/38,85 | PEM | 6952 W | 310° | 6° | 1800 MHz |
| 13 | RL1/41,8 | PEM | 8822 W | 65° | | 80 GHz, 23 GHz |
| 14 | RL2/41,8 | PEM | 5623 W | 104° | | 18 GHz |
| 15 | RL3/41,8 | PEM | 20893 W | 176° | | 18 GHz |

6) Opis stosowanych metod ograniczania wielkości emisji.

Brak zmian.

7) Informacja, czy stopień ograniczania wielkości emisji jest zgodny z obowiązującymi przepisami.

Brak zmian.

8) (uchylony)

-/-

9) Sprawozdanie z wykonanych pomiarów poziomów pól EM, o których mowa w art. 122a ust. 1 pkt 1.

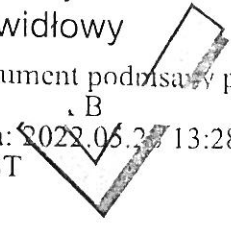
Sprawozdanie nr 23/05/OŚ/2022 – P4-W z dnia 2022-05-12, Nr akredytacji PCA – AB 1630.



Koordinator OS
M B
kom. 7' 4

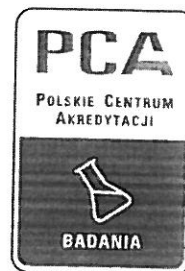
Podpis jest
prawidłowy

Dokument podpisany przez
M B
Data: 2022.05.23 13:28:01
CEST





L . E Sp. J. U , P.
ul. J 1
00-013 W.



AB 1

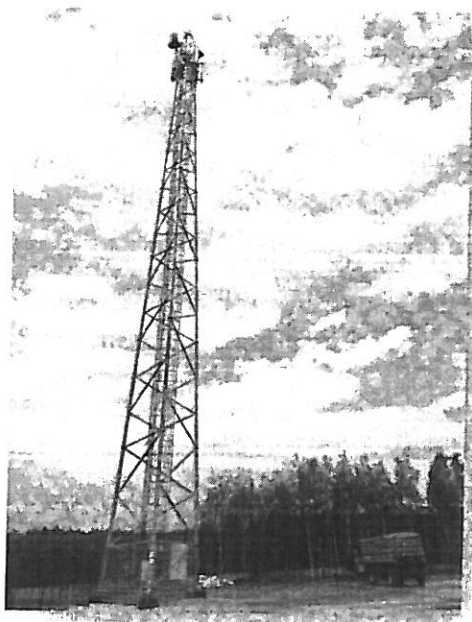
tel. +48

e-mail: l

↓

i@e .pl

Sprawozdanie z pomiarów pól elektromagnetycznych - środowisko ogólne nr 23/05/OŚ/2022- P4-W



| | | |
|-------------------|--|--------------------------|
| Nr i nazwa stacji | GST4401A | |
| Adres | Szczawin Kościelny , Spółdzielcza 8, pow. gostyniński, woj. mazowieckie | |
| Opracowanie | M. K | Specjalista ds. pomiarów |
| Autoryzacja | A U | Kierownik Laboratorium |
| Podpis | Signature Not Verified Dokument podpisany przez Data: 2022.05.18 07:21:25 Powód: Zatwierdzam dokument | |
| Data | 2022-05-12 | |

Spis treści

| | |
|---|---|
| 1. Informacje ogólne..... | 3 |
| 2. Podstawa prawna..... | 3 |
| 3. Opis pomiarów..... | 4 |
| 4. Zróżnicowanie dopuszczalne poziomy pól elektromagnetycznych..... | 5 |
| 5. Charakterystyka źródeł PEM..... | 5 |
| 6. Wyniki pomiarów..... | 5 |
| 7. Stwierdzenie zgodności..... | 7 |
| 8. Oświadczenie..... | 8 |
| 9. Spis załączników..... | 8 |

Informacje ogólne.

P sp. z o.o.,
ul. W . 1,
02-677 W
osoba udzielająca informacji-
M. J.

Zleceniodawca

| | |
|--|--|
| Istotne informacje dostarczone przez klienta | komplet informacji niezbędnych do wykonania pomiarów i opracowania sprawozdania |
| Dane otrzymane od klienta mogące mieć wpływ na ważność wyników | Dane anten sektorowych, dane anten radioliniowych, parametry pracy instalacji, poprawka pomiarowa, ustawienie pochylenia anten |
| Prowadzący instalację | P sp. z o.o., ul. W . 1, 02-677 W |
| Lokalizacja obiektu | Szczawin Kościelny , Spółdzielcza 8, pow. gostyniński, woj. mazowieckie |
| Miejsce instalacji anten | Wieża kratowa |
| Miejsce instalacji urządzeń | Outdoor |
| Osoby wykonujące pomiar | J. B. |
| Data wykonania pomiaru | 12.05.2022 |
| Temperatura na początku pomiaru [°C] | 17,0 |
| Temperatura na koniec pomiaru [°C] | 16,0 |
| Warunki atmosferyczne | Brak opadów |
| Wilgotność na początku pomiaru [%] | 45,0 |
| Wilgotność na koniec pomiaru [%] | 45,0 |
| Godzina na początku pomiaru | 10:8 |
| Godzina na koniec pomiaru | 12:04 |
| Inne źródła pól elektromagnetycznych oznaczone na załączniku graficznym | Występują |
| Parametry pracy instalacji | Rzeczywisty |

2. Podstawa prawna.

2.1 Normy i rozporządzenia:

- Rozporządzeniem Ministra Klimatu z dnia 17 lutego 2020 r. w sprawie sposobów sprawdzania dotrzymania dopuszczalnych poziomów pól elektromagnetycznych w środowisku (Dz.U. 2020 poz. 258)
- Rozporządzenie Ministra Zdrowia z dnia 17 grudnia 2019 r. w sprawie dopuszczalnych poziomów pól elektromagnetycznych w środowisku (Dz.U. 2019 poz. 2448)
- Obwieszczenie Marszałka Sejmu Rzeczypospolitej Polskiej z dnia 19 lipca 2019 r. w sprawie ogłoszenia jednolitego tekstu ustawy - Prawo ochrony środowiska (Dz.U. 2019 poz. 1396).

3. Opis pomiarów

| | |
|---|---|
| Metodologia pomiarowa | Pomiary w oparciu o Rozporządzeniem Ministra Klimatu z dnia 17 lutego 2020 r. w sprawie sposobów sprawdzania dotrzymania dopuszczalnych poziomów pól elektromagnetycznych w środowisku (Dz.U. 2020 poz. 258). |
| Cel badań | Określenie wartości natężenia pola elektrycznego w miejscach dostępnych dla ludności. |
| Opis zestawu pomiarowego | Miernik Narda NBM 520, Sonda EF 9091, o zakresie pomiarowym 0,7 V/m - 300V/m pracująca w paśmie 0,1 – 90 GHz, świadectwo wydane przez Laboratorium Wzorców i Metrologii Pola Elektromagnetycznego, Instytut Telekomunikacji, Teleinformatyki i Akustyki Politechniki Wrocławskiej. Świadectwo ważne do 07.07.2023. Miernik Narda NBM 520, Sonda EF 9091 pracująca w zakresie temperatury -10°C - +50°C oraz wilgotności 5% - 95%. Niepewność rozszerzona wynosi 57% przy poziomie ufności 95% z uwzględnieniem współczynnika rozszerzenia k=2. |
| Wyposażenie pomocnicze | Termohigrometr Termoprodukt, typ: Termik+, nr identyfikacyjny 700618, świadectwo wzorcowania nr 1763/AH/19 z dn. 29.07.2019 r. wydane przez Laboratorium Pomiarowe "MUTECH". Przymiar wstęgowy STABILA, nr identyfikacyjny 31WL, świadectwo wzorcowania nr 6W1/1826/19 z dn. 02.08.2019 r. wydane przez Dyrektora Okręgowego Urzędu Miar w Gdańsku. GPS Garmin 64s okresowo sprawdzany w punktach osnowy geodezyjnej klasy 3 na podstawie licencji punktu, zgodnie z procedurą sprawdzeń okresowych IS/PO16-11/03. |
| Pomiary zostały wykonane | <ol style="list-style-type: none">1. na głównych i pomocniczych kierunkach pomiarowych, na kierunkach zbliżonych do azymutów anten oraz w dodatkowych pionach pomiarowych zgodnie z wymaganiami pkt 12, 13, 14 i 19 załącznika do rozporządzenia Ministra Klimatu z dnia 17 lutego 2020 r. (Dz. U. 2020, poz. 258),2. na obszarze pomiarowym, dla którego, na podstawie uprzednio wykonanych obliczeń uzyskanych od zleceniodawcy, stwierdzono możliwość występowania pól elektromagnetycznych o poziomach zbliżonych do poziomów dopuszczalnych zgodnie z wymaganiami pkt 5 ppkt 2 oraz pkt 13 ppkt 1 załącznika do rozporządzenia Ministra Klimatu z dnia 17 lutego 2020 r. (Dz. U. 2020, poz. 258). Wyniki obliczeń nie uwzględniały parametrów pracy instalacji innych operatorów występujących na obiekcie bądź w obszarze pomiarowym.3. w miejscach dostępnych dla ludności.4. miejsca niedostępne podczas wykonywania pomiarów wskazane zostały w pkt 6 (tabeli wyniki pomiarów)5. wyniki pomiarów uzyskane zostały przy uwzględnieniu poprawek pomiarowych przekazanych przez zleceniodawcę oraz przy rzeczywistych warunkach pracy instalacji innych operatorów (w przypadku występowania). W takiej sytuacji uwzględniono jednolitą poprawkę pomiarową wynoszącą 1,7. |
| Szczegółne warunki podczas wykonywanie pomiarów | Pomiary wykonane zostały podczas obowiązywania w kraju stanu epidemii, zgodnie z art. 122a ust. 1b Ustawy z dnia 27 kwietnia 2001 r. – Prawo ochrony środowiska (Dz. U. z 2019 r. poz. 1396, z późn. zm.9)) |
| Warunki pracy urządzeń nadawczych | Podczas pomiarów zostały uwzględnione poprawki pomiarowe przekazane przez zleceniodawcę, umożliwiające uwzględnienie maksymalnych parametrów pracy instalacji zgodnie z pkt 7 załącznika do Rozporządzeniem Ministra Klimatu z dnia |

4. Zróżnicowanie dopuszczalne poziomy pól elektromagnetycznych.

Zakresy znajdują się w Dzienniku Ustaw z dnia 17 grudnia 2019 r. przedstawione są w tabeli nr 2 (Dz. U. z 2019r. poz. 2448).

| Parametr fizyczny | Składowa elektryczna E (V/m) | Składowa magnetyczna H (A/m) | Gęstość mocy S (W/m ²) |
|---|------------------------------|------------------------------|------------------------------------|
| Zakres Częstotliwości pola elektromagnetycznego | | | |
| od 400 MHz do 2000 MHz | $1,375 \times f^{0,5}$ | $0,0037 \times f^{0,5}$ | f / 200 |
| od 2 GHz do 300 GHz | 61 | 0,16 | 10 |

5. Charakterystyka źródeł PEM.

Zgodnie z informacją otrzymaną od Klienta pomiary zostały wykonane przy ustawieniach pochyleń anten zgodnych z pkt. 13, ppkt 2 załącznika do rozporządzenia Ministra Klimatu z dnia 17 lutego 2020 roku.

Tabela 1. Anteny sektorowe - dane otrzymane od klienta

| | | | | | | | | | |
|---------------------------------|---|-------------------|-------------------|------------------|-----------------|------------------|-------------------|------------------|-----------------|
| Charakterystyka promieniowania | | kierunkowa | | | | | | | |
| Rzeczywisty czas pracy [h/dobę] | | 24 | | | | | | | |
| Rodzaj wytwarzanego pola | | stacjonarne | | | | | | | |
| L | Wyszczególnienie | sektor 1 | | | | sektor 2 | | | |
| p | | | | | | | | | |
| I | Nadajnik stacji bazowej: | | | | | | | | |
| 1 | Typ / Producent | DBS / SRAN Huawei | | | | | | | |
| 2 | Częstotliwość (pasmo) MHz | 800 | 900 | 1800 | 2100 | 800 | 900 | 1800 | 2100 |
| 3 | Maksymalna moc nadawana na sektor [dBm] | 49,03 | 46,02 | 50,81 | 50,81 | 49,03 | 46,02 | 50,81 | 50,81 |
| II | Obciążenie: | | | | | | | | |
| 1 | Typ anteny | Huawei A794517R0 | Kathrein 80010306 | Huawei A26451900 | Kathrein 742213 | Huawei A794517R0 | Kathrein 80010306 | Huawei A26451900 | Kathrein 742213 |
| 2 | Producent anteny | Huawei | Kathrein | Huawei | Kathrein | Huawei | Kathrein | Huawei | Kathrein |
| 3 | Ilość anten | 1 | 1 | 1 | 1 | 1 | 1 | 1 | 1 |
| 4 | Azymut | 60 | | | | 180 | | | |
| 5 | Zakres kątów pochyleń anten [°] | 0,00-10,00 | 0,50-9,50 | 0,00-6,00 | 0,00-6,00 | 0,00-10,00 | 0,50-9,50 | 0,00-6,00 | 0,00-6,00 |
| 6 | Wysokość zainst. n.p.t. [m] | 38,55 | 38,55 | 38,85 | 38,85 | 38,55 | 38,55 | 38,85 | 38,85 |
| 7 | EIRP [W] | 3806 | 2026 | 6952 | 9505 | 3806 | 2026 | 6952 | 9505 |

| | | | | | |
|---------------------------------|---|-------------------|-------------------|------------------|-----------------|
| Charakterystyka promieniowania | | kierunkowa | | | |
| Rzeczywisty czas pracy [h/dobę] | | 24 | | | |
| Rodzaj wytwarzanego pola | | stacjonarne | | | |
| Lp | Wyszczególnienie | sektor 3 | | | |
| I | Nadajnik stacji bazowej: | | | | |
| 1 | Typ / Producent | DBS / SRAN Huawei | | | |
| 2 | Częstotliwość (pasmo) MHz | 800 | 900 | 1800 | 2100 |
| 3 | Maksymalna moc nadawana na sektor [dBm] | 49,03 | 46,02 | 50,81 | 50,81 |
| II | Obciążenie: | | | | |
| 1 | Typ anteny | Huawei A794517R0 | Kathrein 80010306 | Huawei A26451900 | Kathrein 742213 |
| 2 | Producent anteny | Huawei | Kathrein | Huawei | Kathrein |
| 3 | Ilość anten | 1 | 1 | 1 | 1 |
| 4 | Azymut | 310 | | | |
| 5 | Zakres kątów pochYLENIA anten [°] | 0,00-10,00 | 0,50-9,50 | 0,00-6,00 | 0,00-6,00 |
| 6 | Wysokość zainst. n.p.t. [m] | 38,55 | 38,55 | 38,85 | 38,85 |
| 7 | EIRP [W] | 3806 | 2026 | 6952 | 9505 |

Tabela 2. Anteny radioliniowe- dane otrzymane od klienta

| | | | | | | | |
|---------------------------------|------------------|---------------------------|---------------------|------------------|---------------------|------------|------------------------|
| Charakterystyka promieniowania | | kierunkowa | | | | | |
| Rzeczywisty czas pracy [h/dobę] | | 24 | | | | | |
| Rodzaj wytwarzanego pola | | stacjonarne | | | | | |
| Lp | Linia radiowa | | | Antena | | | |
| | typ/producent | częstotliwość pracy [GHz] | moc wyjściowa [dBm] | typ/producent | średnica anteny [m] | azymut [°] | wysokość zainstal. [m] |
| 1 | OPTIX RTN/HUAWEI | 80/23 | 18/25 | A23S80S06/Huawei | 0,6 | 65 | 41,80 |
| 2 | OPTIX RTN/HUAWEI | 18 | 28,5 | VHLPX2-18/Andrew | 0,6 | 104 | 41,80 |
| 3 | OPTIX RTN/HUAWEI | 18 | 28,5 | VHLPX4-18/Andrew | 1,2 | 176 | 41,80 |

6. Wyniki pomiarów.

Wyniki pomiarów pól elektromagnetycznych dla celów ochrony środowiska przedstawia poniższa tabela. Piony pomiarowe zostały przedstawione w zał. 2.

| Nr PP | Pole-E [V/m] | Pole-E *kE, +U [V/m] | Pole-H [A/m] | Pole-H *kE +U [A/m] | Wys. pomiaru [m] | Opis pionu | Uwagi | WM _E | WM _H |
|-------|--------------|----------------------|--------------|---------------------|------------------|--------------------------------|--|-----------------|-----------------|
| 1 | 1,2 | 3,77 | 0,003 | 0,010 | 0,3-2,0 | N:52°21'52.2" E:19°36'28.4" | otoczenie stacji bazowej - 50m wzdłuż gł. osi promieniowania - GKP | 0,135 | 0,137 |
| 2 | 1,2 | 3,77 | 0,003 | 0,010 | 0,3-2,0 | N:52°21'53.0" E:19°36'30.6" | otoczenie stacji bazowej - 100m wzdłuż gł. osi promieniowania - GKP | 0,135 | 0,137 |
| 3 | 1,1 | 3,45 | 0,003 | 0,009 | 0,3-2,0 | N:52°21'53.9" E:19°36'33.3" | otoczenie stacji bazowej - 150m wzdłuż gł. osi promieniowania - GKP | 0,123 | 0,126 |
| 4 | 1,0 | 3,14 | 0,003 | 0,008 | 0,3-2,0 | N:52°21'54.5" E:19°36'34.9" | otoczenie stacji bazowej - 200m wzdłuż gł. osi promieniowania - GKP | 0,112 | 0,114 |
| 5 | 0,9 | 2,83 | 0,002 | 0,007 | 0,3-2,0 | N:52°21'55.3" E:19°36'37.6" | otoczenie stacji bazowej - 250m wzdłuż gł. osi promieniowania - GKP | 0,101 | 0,103 |
| 6 | 0,8 | 2,51 | 0,002 | 0,007 | 0,3-2,0 | N:52°21'56.2" E:19°36'40.1" | otoczenie stacji bazowej - 300m wzdłuż gł. osi promieniowania - GKP | 0,090 | 0,091 |
| 7 | 0,7* | 2,51 | 0,002 | 0,007 | 0,3-2,0 | N:52°21'57.7" E:19°36'43.8" | otoczenie stacji bazowej - 385m wzdłuż gł. osi promieniowania - GKP | 0,090 | 0,091 |
| 8 | 0,8 | 2,51 | 0,002 | 0,007 | 0,3-2,0 | N:52°21'49.5" E:19°36'26.1" | otoczenie stacji bazowej - 50m wzdłuż gł. osi promieniowania - GKP | 0,090 | 0,091 |

„Bez pisemnej zgody Laboratorium niniejsze sprawozdanie nie może być powielane inaczej, jak tylko w całości. Ponadto wyniki dotyczą tylko badanych obiektów przywołanych w niniejszym sprawozdaniu z badań”

| | | | | | | | | | |
|----|--|------|-------|-------|---------|--------------------------------|--|-------|-------|
| 9 | 0,8 | 2,51 | 0,002 | 0,007 | 0,3-2,0 | N:52°21'48.0" E:19°36'25.9" | otoczenie stacji bazowej - 100m wzdłuż gł. osi promieniowania - GKP | 0,090 | 0,091 |
| 10 | 0,7* | 2,51 | 0,002 | 0,007 | 0,3-2,0 | N:52°21'46.6" E:19°36'25.9" | otoczenie stacji bazowej - 150m wzdłuż gł. osi promieniowania - GKP | 0,090 | 0,091 |
| 11 | 0,7* | 2,51 | 0,002 | 0,007 | 0,3-2,0 | N:52°21'44.8" E:19°36'26.1" | otoczenie stacji bazowej - 200m wzdłuż gł. osi promieniowania - GKP | 0,090 | 0,091 |
| 12 | 0,7* | 2,51 | 0,002 | 0,007 | 0,3-2,0 | N:52°21'43.3" E:19°36'25.7" | otoczenie stacji bazowej - 250m wzdłuż gł. osi promieniowania - GKP | 0,090 | 0,091 |
| 13 | 0,7* | 2,51 | 0,002 | 0,007 | 0,3-2,0 | N:52°21'41.9" E:19°36'25.7" | otoczenie stacji bazowej - 300m wzdłuż gł. osi promieniowania - GKP | 0,090 | 0,091 |
| 14 | 0,7* | 2,51 | 0,002 | 0,007 | 0,3-2,0 | N:52°21'38.8" E:19°36'25.8" | otoczenie stacji bazowej - 385m wzdłuż gł. osi promieniowania - GKP | 0,090 | 0,091 |
| 15 | 0,8 | 2,51 | 0,002 | 0,007 | 0,3-2,0 | N:52°21'52.6" E:19°36'23.5" | otoczenie stacji bazowej - 50m wzdłuż gł. osi promieniowania - GKP | 0,090 | 0,091 |
| 16 | 0,8 | 2,51 | 0,002 | 0,007 | 0,3-2,0 | N:52°21'53.7" E:19°36'21.7" | otoczenie stacji bazowej - 100m wzdłuż gł. osi promieniowania - GKP | 0,090 | 0,091 |
| 17 | 0,7* | 2,51 | 0,002 | 0,007 | 0,3-2,0 | N:52°21'54.6" E:19°36'19.9" | otoczenie stacji bazowej - 150m wzdłuż gł. osi promieniowania - GKP | 0,090 | 0,091 |
| 18 | 0,7* | 2,51 | 0,002 | 0,007 | 0,3-2,0 | N:52°21'55.7" E:19°36'18.0" | otoczenie stacji bazowej - 200m wzdłuż gł. osi promieniowania - GKP | 0,090 | 0,091 |
| 19 | 0,7* | 2,51 | 0,002 | 0,007 | 0,3-2,0 | N:52°21'56.8" E:19°36'16.4" | otoczenie stacji bazowej - 250m wzdłuż gł. osi promieniowania - GKP | 0,090 | 0,091 |
| 20 | 0,7* | 2,51 | 0,002 | 0,007 | 0,3-2,0 | N:52°21'57.7" E:19°36'14.4" | otoczenie stacji bazowej - 300m wzdłuż gł. osi promieniowania - GKP | 0,090 | 0,091 |
| 21 | 0,7* | 2,51 | 0,002 | 0,007 | 0,3-2,0 | N:52°21'59.7" E:19°36'10.7" | otoczenie stacji bazowej - 385m wzdłuż gł. osi promieniowania - GKP | 0,090 | 0,091 |
| 22 | 0,9 | 2,83 | 0,002 | 0,007 | 0,3-2,0 | N:52°21'50.8" E:19°36'28.8" | otoczenie stacji bazowej - 50m wzdłuż gł. osi promieniowania - GKP | 0,101 | 0,103 |
| 23 | 1,2 | 3,77 | 0,003 | 0,010 | 0,3-2,0 | N:52°21'51.5" E:19°36'31.5" | otoczenie stacji bazowej - GKP | 0,135 | 0,137 |
| 24 | 0,8 | 2,51 | 0,002 | 0,007 | 0,3-2,0 | N:52°21'47.8" E:19°36'28.3" | otoczenie stacji bazowej -PKP | 0,090 | 0,091 |
| 25 | 0,7* | 2,51 | 0,002 | 0,007 | 0,3-2,0 | N:52°21'48.2" E:19°36'24.6" | otoczenie stacji bazowej -PKP | 0,090 | 0,091 |
| 26 | 0,8 | 2,51 | 0,002 | 0,007 | 0,3-2,0 | N:52°21'51.1" E:19°36'23.4" | otoczenie stacji bazowej -PKP | 0,090 | 0,091 |
| 27 | 0,7* | 2,51 | 0,002 | 0,007 | 0,3-2,0 | N:52°21'52.1" E:19°36'20.9" | otoczenie stacji bazowej -PKP | 0,090 | 0,091 |
| 28 | 0,8 | 2,51 | 0,002 | 0,007 | 0,3-2,0 | N:52°21'55.0" E:19°36'23.1" | otoczenie stacji bazowej -PKP | 0,090 | 0,091 |
| 29 | 1,2 | 3,77 | 0,003 | 0,010 | 0,3-2,0 | N:52°21'52.2" E:19°36'26.1" | otoczenie stacji bazowej - GKP | 0,135 | 0,137 |
| 30 | 0,7* | 2,51 | 0,002 | 0,007 | 0,3-2,0 | N:52°21'55.5" E:19°36'27.2" | otoczenie stacji bazowej - GKP | 0,090 | 0,091 |
| A | 0,9 | 2,83 | 0,002 | 0,007 | 0,3-2,0 | N:52°21'55.5" E:19°36'37.9" | Spółdzielcza 5, pomiar przed budynkiem -DPP | 0,101 | 0,103 |
| B | 0,8 | 2,51 | 0,002 | 0,007 | 0,3-2,0 | N:52°21'56.9" E:19°36'41.5" | Łąkowa 8, pomiar przed posesją - DPP | 0,090 | 0,091 |
| C | 0,8 | 2,51 | 0,002 | 0,007 | 0,3-2,0 | N:52°21'56.8" E:19°36'42.3" | Łąkowa 10, pomiar przed posesją - DPP | 0,090 | 0,091 |
| D | Brak dostępu – pomieszczenia gospodarcze | | | | | | | | |

Wynik pomiaru pole - E [V/m] - maksymalna wartość chwilowa zmierzona w danym pionie pomiarowym (uśredniona na podstawie punktu 11 Załącznika do Rozporządzenia Ministra Zdrowia).

Przyjęto najniższą dopuszczalną wartość składowej elektrycznej pola dla objętego pomiarami zakresu częstotliwości $\min(ME_{gr}) = 28 \text{ V/m}$ oraz składowej magnetycznej $\min(MH_{gr}) = 0,073 \text{ A/m}$.

* - wartość zmierzona poniżej zakresu akredytacji. Do obliczeń przyjęto wartość zgodną z dolną granicą akredytowanego zakresu pomiarowego metody.

GKP - główne kierunki pomiarowe

PKP - pomocnicze kierunki pomiarowe

DPP - dodatkowe punkty pomiarowe

PP - pion pomiarowy

U - niepewność pomiarowa rozszerzona, przy poziomie ufności 95%, z uwzględnieniem współczynnika rozszerzenia $k=2$

kE - poprawka pomiarowa badanej instalacji radiokomunikacyjnej podana przez operatora ($kE=1,7$), poprawka pomiarowa w przypadku oddziaływania innych instalacji radiokomunikacyjnych na badany obszar ($kE=2,0$)

„Bez pisemnej zgody Laboratorium niniejsze sprawozdanie nie może być powielane inaczej, jak tylko w całości. Ponadto wyniki dotyczą tylko badanych obiektów przywołanych w niniejszym sprawozdaniu z badań”

WM_E - wartość wskaźnikowa poziomu emisji pól elektromagnetycznych dla miejsc dostępnych dla ludności dla składowej elektrycznej pola

WM_H - wartość wskaźnikowa poziomu emisji pól elektromagnetycznych dla miejsc dostępnych dla ludności dla składowej magnetycznej pola

7. Stwierdzenie zgodności

Na podstawie wytycznych podanych w Rozporządzeniu Ministra Zdrowia z dnia 17 grudnia 2019 r. w sprawie dopuszczalnych poziomów pól elektromagnetycznych w środowisku (Dz.U. 2019 poz. 2448) oraz sposobów sprawdzania dotrzymania tych poziomów zgodnie z Rozporządzeniem Ministra Klimatu z dnia 17 lutego 2020 r. w sprawie sposobów sprawdzania dotrzymania dopuszczalnych poziomów pól elektromagnetycznych w środowisku (Dz.U. 2020 poz. 258) dotyczących źródła wymagań, które muszą być spełnione (załącznik do rozporządzenia Ministra Klimatu z dnia 17 lutego 2020 r. (poz. 258)), w oparciu o zasadę podejmowania decyzji zgodną z pkt 26 załącznika do rozporządzenia Ministra Klimatu z dnia 17 lutego 2020 r. (poz. 258), na podstawie wyników pomiarów pól elektromagnetycznych wykonanych w dniu 12.05.2022 stwierdzono, iż w miejscach dostępnych dla ludności, dopuszczalne poziomy pól elektromagnetycznych w środowisku, określone w przepisach wydanych na podstawie art. 122 ust. 1 ustawy z dnia 27 kwietnia 2001 r. – Prawo ochrony środowiska, uznaje się za dotrzymane w obszarze pomiarowym, w którym w wyniku zastosowania sposobu sprawdzenia dotrzymania dopuszczalnych poziomów pól elektromagnetycznych w środowisku, udokumentowano, że żadna z wartości wskaźnikowych nie przekracza wartości 1.

8. Oświadczenie.

Wyniki badania odnoszą się wyłącznie do badanego obiektu.

Bez pisemnej zgody sprawozdanie nie może być powielane inaczej, jak tylko w całości.

Uwagi i zastrzeżenia przyjmowane są w formie pisemnej w ciągu 14 dni od daty otrzymania sprawozdania.

9. Spis załączników.

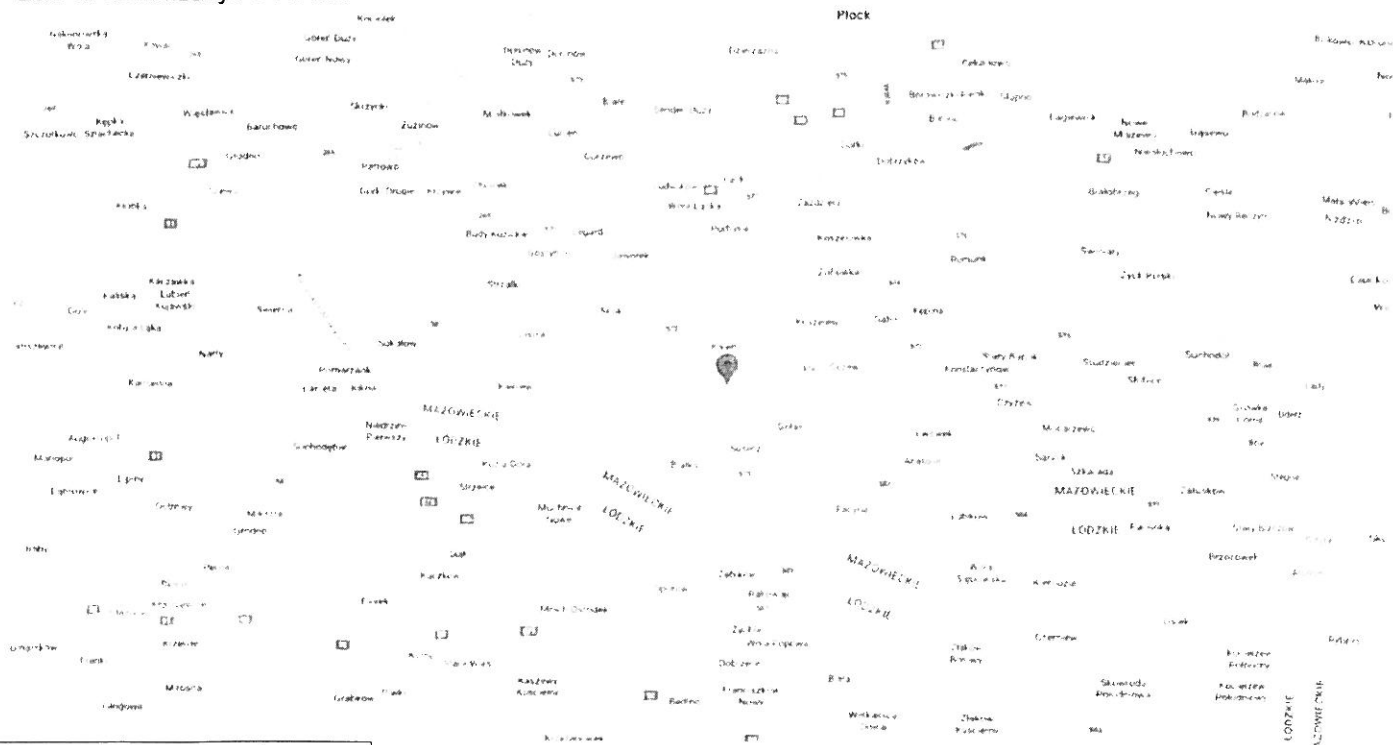
Zał. 1. Lokalizacja obiektu.

Zał. 2. Widok pionów pomiarowych

Zał. 3. Załączniki graficzne

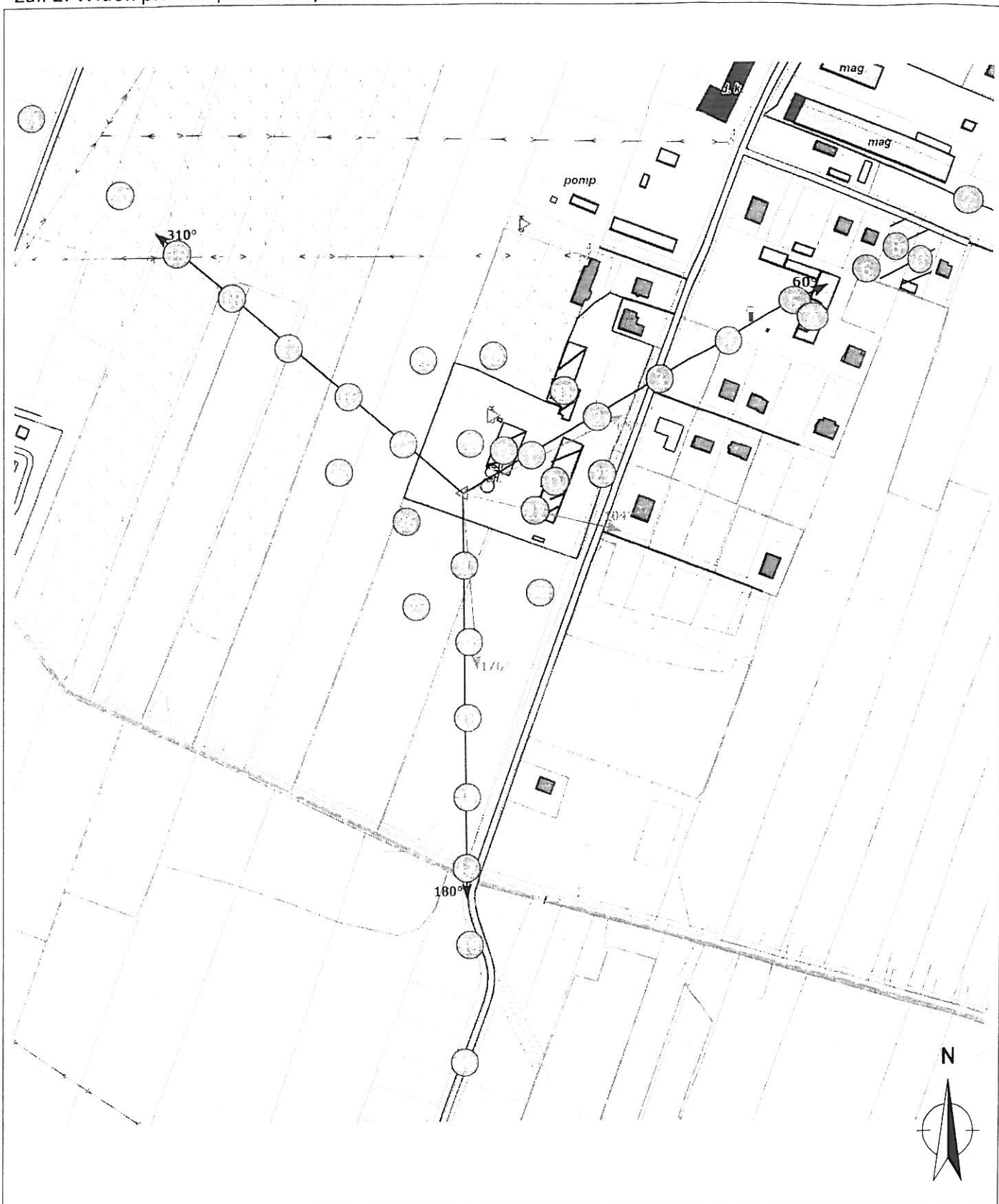
Koniec sprawozdania

Zař. 1. Lokalizacja obiektu



| Współrzędne geograficzne | |
|--------------------------|---------------|
| długość: | 19°36'25.95"E |
| szerokość: | 52°21'51.40"N |


Załącznik 2. Widok pionów pomiarowych





LEGENDA:

inna instalacja radiokomunikacyjna

Odległość, do której zostały wykonane pomiary mierząc od instalacji antenowej wynosi min.: 388,5 metrów.

 brak dostępu

 nr pion pomiarowy z poprawką pomiarową (brak innych instalacji radiokomunikacyjnych)

 nr pion pomiarowy z poprawką pomiarową (w zasięgu innych instalacji radiokomunikacyjnych)

 antena sektorowa

 antena radioliniowa

Skala: 1:4300



Załącznik 3. Załączniki graficzne.

